

УДК 621. 822. 05

**К.С. АХВЕРДИЕВ, А.И. ЗАДОРЖНЫЙ,
М.А. МУКУТАДЗЕ, С.Ф. КОЧЕТОВА**

НЕЛИНЕЙНАЯ МАТЕМАТИЧЕСКАЯ МОДЕЛЬ ГИДРОДИНАМИЧЕСКОЙ СМАЗКИ СЛОЖНОАГРУЖЕННОГО СОСТАВНОГО КОНИЧЕСКОГО ПОДШИПНИКА С ПОРИСТЫМ СЛОЕМ НА ЕГО РАБОЧЕЙ ПОВЕРХНОСТИ

В работе на основе нестационарных нелинейных уравнений Навье-Стокса для случая «тонкого слоя» и уравнения Дарси с использованием принципа конструктивной суперпозиции разработан метод гидродинамического расчета составного конического подшипника. Дана оценка влияния угла конусности и протяженности пористой составляющей на основные рабочие характеристики составного подшипника.

Ключевые слова: математическая модель, гидродинамическая смазка, составной подшипник, пористый слой.

Введение. Как известно [1], конические подшипники жидкостного трения широко применяются как в тяжелоагруженных узлах машин и механизмов, так и в качестве конструктивного элемента использования опорных узлов высокоскоростных роторных машин. Применение конических радиально-упорных подшипников в узлах высокоскоростных опорных машин позволяет уменьшить габаритные размеры опор, снизить энергетические потери, улучшить динамические характеристики опорных узлов [1,2]. Поэтому разработка метода гидродинамического расчета конических подшипников представляет теоретический и практический интерес. Анализ публикаций в данной области показывает, что в работах, посвященных расчету конических подшипников, рассматриваются либо сплошные конические подшипники [1], либо содержащие пористый слой на всей рабочей поверхности [3]. В данной работе приводится метод гидродинамического расчета составного конического подшипника, работающего в нестационарном режиме.

Постановка задачи. Рассматривается неустановившееся движение вязкой несжимаемой жидкости в зазоре составного конического подшипника конечной длины. Вкладыш, представляющий собой совокупность сплошных и пористых втулок, запрессованных в непроницаемый конический корпус, предполагается неподвижным, а конический шип вращается с постоянной угловой скоростью ω , на которую накладываются возмущения $\Omega(t)$. Также предполагается, что смазка подается в осевом направлении и в двух торцевых сечениях давление задано. Поместим начало цилиндрической системы r, θ, z в левом конце на оси подшипника (рис. 1), ось z направим по оси подшипника. В выбранной системе координат уравнения контуров c_2, c_1 и c_0 записываются в виде:

$$r = r_2 + z \operatorname{tg} \alpha; \quad r = r_1 + z \operatorname{tg} \alpha; \quad r = r_0 + z \operatorname{tg} \alpha + e \cos \theta, \quad (1)$$

где r_0 – радиус шипа; r_1 – радиус вкладыша в сечении $z=0$;

$\delta = (r_2 - r_1) \cos \alpha$ – толщина пористого слоя; e – эксцентриситет;

α – угол конусности подшипника.

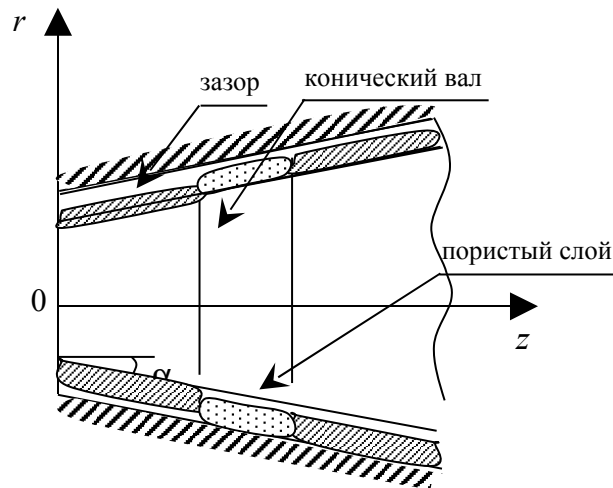


Рис. 1. Схематическое изображение составного конического подшипника

Основные уравнения и граничные условия. Будем исходить из нелинейных нестационарных уравнений Навье-Стокса для «тонкого слоя» [3], уравнения неразрывности и уравнения Дарси:

$$\begin{aligned}
 \frac{\partial v_r}{\partial t} &= v_r \frac{\partial v_r}{\partial r} + \frac{v_\theta}{r} \frac{\partial v_\theta}{\partial \theta} + v_z \frac{\partial v_r}{\partial z} - \frac{v_\theta^2}{r} = -\frac{1}{\rho} \frac{\partial p}{\partial r} + \\
 &+ \nu \left(\frac{\partial^2 v_r}{\partial r^2} + \frac{1}{r^2} \frac{\partial^2 v_r}{\partial \theta^2} + \frac{\partial^2 v_r}{\partial z^2} + \frac{1}{r} \frac{\partial v_r}{\partial r} - \frac{2}{r^2} \frac{\partial v_\theta}{\partial \theta} - \frac{v_r}{r^2} \right), \\
 \frac{\partial v_\theta}{\partial t} &= v_r \frac{\partial v_\theta}{\partial r} + \frac{v_\theta}{r} \frac{\partial v_\theta}{\partial \theta} + v_z \frac{\partial v_\theta}{\partial z} + \frac{v_r v_\theta}{r} = -\frac{1}{\rho r} \frac{\partial p}{\partial \theta} + \\
 &+ \nu \left(\frac{\partial^2 v_\theta}{\partial r^2} + \frac{1}{r^2} \frac{\partial^2 v_\theta}{\partial \theta^2} + \frac{\partial^2 v_\theta}{\partial z^2} + \frac{1}{r} \frac{\partial v_\theta}{\partial r} + \frac{2}{r^2} \frac{\partial v_r}{\partial \theta} - \frac{v_\theta}{r^2} \right), \\
 \frac{\partial v_z}{\partial t} &= v_r \frac{\partial v_z}{\partial r} + \frac{v_\theta}{r} \frac{\partial v_z}{\partial \theta} + v_z \frac{\partial v_z}{\partial z} = -\frac{1}{\rho} \frac{\partial p}{\partial z} + \nu \left(\frac{\partial^2 v_z}{\partial r^2} + \right. \\
 &+ \left. \frac{1}{r^2} \frac{\partial^2 v_z}{\partial \theta^2} + \frac{\partial^2 v_z}{\partial z^2} + \frac{1}{r} \frac{\partial v_z}{\partial r} \right); \\
 \frac{\partial v_r}{\partial r} + \frac{1}{r} \frac{\partial v_\theta}{\partial \theta} + \frac{\partial v_z}{\partial z} + \frac{v_r}{r} &= 0.
 \end{aligned} \tag{2}$$

Система уравнений (2) решается при следующих предельных условиях:

- прилипание смазки к поверхности шипа и подшипника;

- на внутренней поверхности вкладыша (при $z = (z_1, z_2)$) нормальная составляющая скорости определяется законом Дарси;
- при переходе через пористую границу ($z = (z_1, z_2)$) давление меняется непрерывно;
- на внешней поверхности пористого слоя нормальная составляющая скорости равна нулю;
- в двух сечениях (в начальном и конечном) давление задано.

Приведем начальные условия:

$$P|_{t=0} = P^{(0)}, v_r|_{t=0} = v_r^{(0)}, v_\theta|_{t=0} = v_\theta^{(0)}, v_z|_{t=0} = v_z^{(0)}, P|_{t=0} = P^{(0)}. \quad (3)$$

Здесь $P^{(0)}, v_r^{(0)}, v_\theta^{(0)}, v_z^{(0)}, P^{(0)}$ - решение соответствующей стационарной задачи.

Для решения поставленной задачи используется прием конструктивной суперпозиции, заключающийся в следующем: сначала последовательно решаются две задачи, связанные с разработкой метода расчета составных цилиндрических подшипников с конструктивными параметрами, соответствующими сечениям $z = 0$ и $z = l$ составного конического подшипника. В последующем определяется линейная суперпозиция этих решений.

Задача 1. Разработка метода расчета составного цилиндрического подшипника с радиусом шипа r_0 и вкладыша r_1 и с толщиной пористой составляющей втулки δ . Определение поля скоростей $v_r^{(1)}, v_\theta^{(1)}, v_z^{(1)}$ и давлений соответственно в смазочном слое $p^{(1)}$ и в пористом $P^{(1)}$.

Задача 2. Расчет составного цилиндрического подшипника с радиусом шипа $r_0 + l \operatorname{tg} \alpha$ и вкладыша $r_1 + l \operatorname{tg} \alpha$. Определение поля скоростей $v_r^{(2)}, v_\theta^{(2)}, v_z^{(2)}$ и полей давлений $p^{(1)}$ и $P^{(2)}$. С использованием решений задачи 1 и задачи 2 приближенное решение рассматриваемой задачи представляется в виде линейной суперпозиции этих решений, т.е. [4]:

$$\begin{aligned} p &= p^{(1)} \theta^* + p^{(2)} (1 - \theta^*), v_r = v_r^{(1)} \theta^* + v_r^{(2)} (1 - \theta^*), \\ v_\theta &= v_\theta^{(1)} \theta^* + v_\theta^{(2)} (1 - \theta^*), v_z = v_z^{(1)} \theta^* + v_z^{(2)} (1 - \theta^*), \\ P &= P^{(1)} \theta^* + P^{(2)} (1 - \theta^*), \theta^* \in [0, 1]. \end{aligned} \quad (4)$$

Найдем решение задачи 1. Перейдем в смазочном слое к безразмерным переменным по формулам:

$$v_r^{(1)} = \omega \delta u^{(1)}, v_\theta^{(1)} = \omega r_0 v^{(1)}, v_z^{(1)} = \omega r_0 w^{(1)}, p^{(1)} = p^* p^{(1)},$$

$$r = r_1 - \delta r, z = r_0 z, \delta = r_1 - r_0,$$

$$p^* = \frac{\mu \omega r_0^2}{\delta^2}, t = t^* t, t^* = \frac{\rho \delta^2}{\mu}. \quad (5)$$

В пористом слое переход к безразмерным переменным осуществим по формулам:

$$r = \delta \tilde{\xi}, \quad P = p^* P^{(1)}, \quad P^{(1)} = p^* P^{(1)}, \quad z = r_0 z, \quad \delta = r_2 - r_1. \quad (6)$$

Используя (5) и (6), систему уравнений (2) и граничные условия (3) в случае рассматриваемого цилиндрического подшипника с пористым слоем на рабочей поверхности, можно записать решение задачи в виде (с

точностью до членов $O \frac{\delta}{r_1}, O \frac{\delta^{\frac{1}{2}}}{r_0^2}$):

$$\begin{aligned} \frac{\partial P^{(1)}}{\partial r} &= 0, -\frac{\partial v^{(1)}}{\partial t} + \frac{\partial^2 v^{(1)}}{\partial r^2} = \frac{\partial P}{\partial \theta} + \text{Re } u^{(1)} \frac{\partial v^{(1)}}{\partial r} + v^{(1)} \frac{\partial v^{(1)}}{\partial \theta} + w^{(1)} \frac{\partial v^{(1)}}{\partial z}, \\ -\frac{\partial w^{(1)}}{\partial t} + \frac{\partial^2 w^{(1)}}{\partial r^2} &= \frac{\partial P}{\partial z} + \text{Re } u^{(1)} \frac{\partial w^{(1)}}{\partial r} + v^{(1)} \frac{\partial w^{(1)}}{\partial \theta} + w^{(1)} \frac{\partial w^{(1)}}{\partial z}, \\ \frac{\partial u^{(1)}}{\partial r} + \frac{\partial v^{(1)}}{\partial \theta} + \frac{\partial w^{(1)}}{\partial z} &= 0, B^* \frac{\partial P^{(1)}}{\partial t} = \frac{\partial^2 P^{(1)}}{\partial \tilde{\xi}^2} + \frac{1}{\tilde{\xi}} \frac{\partial P^{(1)}}{\partial \tilde{\xi}} + \frac{1}{\tilde{\xi}^2} \frac{\partial^2 P^{(1)}}{\partial \theta^2} + \frac{\partial^2 P^{(1)}}{\partial z^2} = 0. \quad (7) \end{aligned}$$

$$u^{(1)}|_{r=0} = -N^{(1)} \frac{\partial P}{\partial \tilde{\xi}} \Big|_{\tilde{\xi}=\frac{r_1}{\delta}}, \quad v^{(1)}|_{r=0} = 0, \quad w|_{r=0} = 0, \quad p = P \Big|_{\tilde{\xi}=\frac{r_1}{\delta}},$$

$$N^{(1)} = \frac{kr_0^2}{\delta^3 \delta}, \quad u^{(1)}|_{r=1-\eta \cos \theta} = -\eta \sin \theta - \frac{\Omega}{\omega} \frac{\eta \sin \theta}{\omega}, \quad \eta = \frac{e}{\delta},$$

$$v^{(1)}|_{r=1-\eta \cos \theta} = 1 + \frac{\Omega}{\omega}, \quad w^{(1)}|_{r=1-\eta \cos \theta} = 0,$$

$$P^{(1)}|_{z=0} = \varphi_1(\theta, t) / p^*, \quad P^{(1)}|_{z=\gamma=\frac{l}{r_0}} = \varphi_2(\theta, t) / p^*,$$

$$\frac{\partial P^{(1)}}{\partial \tilde{\xi}} \Big|_{\tilde{\xi}=\frac{r_2}{\delta}} = 0, \quad N^{(1)} = 0 \text{ при } z = \frac{z_1}{r_0}, \frac{z_2}{r_0}, \quad B^{*(1)} = \frac{B\delta^2}{t^*}, \quad \text{Re} = \frac{\rho \omega \delta^2}{\mu},$$

$$P^{(1)}|_{t=0} = P^{(0)}, \quad u^{(1)}|_{t=0} = u^{(0)}, \quad v^{(1)}|_{t=0} = v^{(0)}, \quad w|_{t=0} = w^{(0)}, \quad P^{(1)}|_{t=0} = P^{(0)}. \quad (8)$$

Здесь $p^{(0)}, u^{(0)}, v^{(0)}, w^{(0)}, P^{(0)}$ - решение соответствующей безразмерной стационарной задачи.

В системе уравнений (7) осредним по толщине смазочного слоя члены, обусловленные силой инерции, а также осредним уравнение Дарси по толщине пористого слоя. Введем следующие обозначения:

$$\begin{aligned} M_1^{(1)} &= \frac{1}{1-\eta \cos \theta} \int_0^{1-\eta \cos \theta} \frac{\partial v^{(1)}}{\partial t} + \text{Re } u^{(1)} \frac{\partial v^{(1)}}{\partial r} + v^{(1)} \frac{\partial v^{(1)}}{\partial \theta} + w^{(1)} \frac{\partial v^{(1)}}{\partial z} dr, \\ M_2^{(1)} &= \frac{1}{1-\eta \cos \theta} \int_0^{1-\eta \cos \theta} \frac{\partial w^{(1)}}{\partial t} + \text{Re } u^{(1)} \frac{\partial w^{(1)}}{\partial r} + v^{(1)} \frac{\partial w^{(1)}}{\partial \theta} + w^{(1)} \frac{\partial w^{(1)}}{\partial z} dr, \end{aligned}$$

$$B^* \frac{\partial P^{(1)}}{\partial t} dr = \frac{\frac{r_2}{\delta}}{\frac{r_1}{\delta}} \frac{\partial^2 P^{(1)}}{\partial \tilde{\xi}^2} + \frac{1}{\tilde{\xi}} \frac{\partial P^{(1)}}{\partial \tilde{\xi}} + \frac{1}{\tilde{\xi}^2} \frac{\partial^2 P^{(1)}}{\partial \theta^2} dr. \quad (9)$$

Точное автомодельное решение задачи (7) – (8) с учетом (9) будем искать в виде:

$$\begin{aligned} u^{(1)} &= -\frac{\partial \psi^{(1)}}{\partial \theta} + U^{(1)}(r, \theta, t), \quad v^{(1)} = \frac{\partial \psi^{(1)}}{\partial r} + V^{(1)}(r, \theta, t), \\ w^{(1)} &= \tilde{w}(\tilde{\xi}, t), \quad U^{(1)} = \tilde{u}^{(1)}(\tilde{\xi}, t) h(\theta), \quad V^{(1)} = \tilde{v}^{(1)}(\tilde{\xi}, t), \\ \xi &= \frac{r}{h(\theta)}, \quad \psi^{(1)} = \tilde{\psi}^{(1)}(\tilde{\xi}, t), \quad p^{(1)} + \int_0^\theta M_1^{(1)}(\theta, t) d\theta = \int_0^\theta \frac{\mathcal{E}_1(t)}{h^2} + \frac{\mathcal{E}_2(t)}{h^3} d\theta + az + b, \\ P^{(1)} &= A^{(1)}(\theta, t) \left(\tilde{\xi} - \frac{r_1}{\delta} \right) \left(\tilde{\xi} - \frac{r_2}{\delta} \right)^2 + A^{*(1)}(t) \left(\tilde{\xi} - \frac{r_1}{\delta} \right) \left(1 - \frac{1}{2} \left(\tilde{\xi} - \frac{r_1}{\delta} \right) \eta \sin \theta \right). \end{aligned} \quad (10)$$

Подставив (10) в (7) и (8) с учетом (9), будем иметь:

$$\begin{aligned} \frac{\partial^3 \tilde{\psi}^{(1)}}{\partial \tilde{\xi}^3} &= \mathcal{E}_2(t), \quad \frac{\partial^2 \tilde{v}^{(1)}}{\partial \tilde{\xi}^2} = \mathcal{E}_1(t), \quad \frac{\partial^2 w^{(1)}}{\partial \tilde{\xi}^2} = ah^2(\theta) + M_2^{(1)} h^2(\theta), \\ \frac{\partial \tilde{u}^{(1)}}{\partial \tilde{\xi}} - \tilde{\xi} \frac{\partial \tilde{v}^{(1)}}{\partial \tilde{\xi}} &= 0, \quad B^{*(1)} \beta_4 \frac{\partial A^{*(1)}}{\partial t} = A^{*(1)} (-\beta_4 + \beta_5 + \beta_6), \\ B^{*(1)} \beta_4 \frac{\partial A^{(1)}}{\partial t} &= \beta_3 \frac{\partial^2 A^{(1)}}{\partial \theta^2} + A^{(1)} (\beta_1 + \beta_2) + \frac{\partial^2 p^{(1)}}{\partial \theta^2}. \end{aligned} \quad (11)$$

$$\frac{\partial \tilde{\psi}^{(1)}}{\partial \tilde{\xi}}(\theta, t) = \frac{\partial \tilde{\psi}^{(1)}}{\partial \tilde{\xi}}(1, t) = 0, \quad \tilde{u}^{(1)}(\theta, t) = -NA^{*(1)},$$

$$v^{(1)}(0, t) = 0, \quad \tilde{w}^{(1)}(0, t) = 0, \quad \tilde{u}^{(1)}(1, t) = 1 - \frac{\Omega}{\omega},$$

$$\tilde{v}^{(1)}(1, t) = -1 + \frac{\Omega}{\omega}, \quad \tilde{w}^{(1)}(1, t) = 0, \quad p^{(1)} = P^{(1)} \bigg|_{\tilde{\xi} = \frac{r_1}{\delta}}, \quad \frac{\partial P^{(1)}}{\partial \tilde{\xi}} \bigg|_{\tilde{\xi} = \frac{r_2}{\delta}} = 0,$$

$$A^{(1)}(0, t) = A^{(1)}(2\pi, t); \quad p^{(1)}(0, z, t) = p^{(1)}(2\pi, z, t). \quad (12)$$

Здесь

$$\beta_1 = \frac{\frac{r_2}{\delta}}{\frac{r_1}{\delta}} \frac{d^2}{d\tilde{\xi}^2} \left(\tilde{\xi} - \frac{r_1}{\delta} \right) \left(\tilde{\xi} - \frac{r_2}{\delta} \right)^2 d\tilde{\xi}, \quad \beta_2 = \frac{\frac{r_2}{\delta}}{\frac{r_1}{\delta}} \frac{1}{\tilde{\xi}} \frac{d}{d\tilde{\xi}} \left(\tilde{\xi} - \frac{r_1}{\delta} \right) \left(\tilde{\xi} - \frac{r_2}{\delta} \right)^2 d\tilde{\xi};$$

$$\beta_3 = \frac{\frac{r_2}{\delta}}{\frac{r_1}{\delta}} \left(\tilde{\xi} - \frac{r_1}{\delta} \right)^2 d\tilde{\xi}, \quad \beta_4 = \frac{\frac{r_2}{\delta}}{\frac{r_1}{\delta}} \left(\tilde{\xi} - \frac{r_1}{\delta} \right) \left(1 - \frac{1}{2} \tilde{\xi} - \frac{r_1}{\delta} \right) d\tilde{\xi};$$

$$\beta_5 = \frac{\frac{r_2}{\delta}}{\frac{r_1}{\delta}} \frac{d^2}{d\tilde{\xi}^2} \left(\tilde{\xi} - \frac{r_1}{\delta} \right) \left(1 - \frac{1}{2} \tilde{\xi} - \frac{r_1}{\delta} \right) d\tilde{\xi}, \quad \beta_6 = \frac{\frac{r_2}{\delta}}{\frac{r_1}{\delta}} \frac{1}{\tilde{\xi}} \frac{d}{d\tilde{\xi}} \left(\tilde{\xi} - \frac{r_1}{\delta} \right) \left(1 - \frac{1}{2} \tilde{\xi} - \frac{r_1}{\delta} \right) d\tilde{\xi}.$$

Решение задачи (11) – (12) находится непосредственным интегрированием. В результате будем иметь:

$$\frac{\partial \tilde{\psi}^{(1)}}{\partial \tilde{\xi}} = \frac{\mathcal{E}_2}{2} (\tilde{\xi}^2 - \xi), \quad \tilde{u}^{(1)} = \int_0^{\tilde{\xi}} \frac{\partial \tilde{v}^{(1)}}{\partial \tilde{\xi}} d\tilde{\xi},$$

$$\tilde{v}^{(1)} = \frac{\mathcal{E}_1}{2} \tilde{\xi}^2 + \left(1 + \frac{\Omega}{\omega} \right) \tilde{\xi},$$

$$\tilde{w}^{(1)} = \frac{ah^2}{2} (\tilde{\xi}^2 - \xi) + \frac{M_2^{(1)} h^2}{2} (\tilde{\xi}^2 - \xi),$$

$$P^{(1)} = \int_0^{\theta} \frac{\mathcal{E}_1(t)}{h^2(\theta)} + \frac{\mathcal{E}_2(t)}{h^3(\theta)} d\theta + az + b - \int_0^{\theta} M_1^{(1)}(\theta, z) d\theta,$$

$$M_1^{(1)}(\theta, t) = -\frac{\mathcal{E}_2}{12h} - \frac{\mathcal{E}_1}{6} + \frac{1}{2\omega} \frac{d\Omega}{dt} +$$

$$+ \operatorname{Re} \int_0^1 -\frac{\partial \tilde{\psi}^{(1)}}{\partial \tilde{\xi}} \tilde{\xi} \frac{h(\theta)}{h} + \tilde{u}^{(1)} h(\theta) \frac{1}{h^2} \frac{\partial \tilde{\psi}^{(1)}}{\partial \tilde{\xi}^2} +$$

$$+ \frac{1}{h} \frac{\partial \tilde{v}^{(1)}}{\partial \tilde{\xi}} + \frac{1}{h} \frac{\partial \tilde{\psi}^{(1)}}{\partial \tilde{\xi}} + \tilde{v}^{(1)} - \frac{h}{h^2} \frac{\partial \psi^{(1)}}{\partial \tilde{\xi}} - \frac{1}{h^2} \frac{\partial^2 \tilde{\psi}^{(1)}}{\partial \tilde{\xi}^2} \tilde{\xi} \frac{h}{h^2} - \frac{\partial \tilde{v}^{(1)}}{\partial \tilde{\xi}} \tilde{\xi} \frac{h}{h} d\tilde{\xi}. \quad (13)$$

$$A^{*(1)}(t) = e^{-\frac{\beta_4 - \beta_5 - \beta_6}{B^* \beta_4} t} A_0^{*(1)}, \quad \tilde{c}_1^{(1)} = 6 + 18 \frac{\Omega}{\omega} + 12 N^{(1)} A^{*(1)}, \quad A_0^{*(1)} = \text{const.}$$

Явный вид функции $A^{(1)}(\theta, t)$ $M_2^{(1)}(\theta, t)$ при определении основных рабочих характеристик нам не понадобится. Соблюдая периодичность гидродинамического давления по θ , для определения $\mathcal{E}_2(t)$ приходим к следующему уравнению:

$$\int_0^{2\pi} \frac{\mathcal{E}_1}{h^2} + \frac{\mathcal{E}_2}{h^3} d\theta - \int_0^{2\pi} M_1^{(1)}(\theta, t) d\theta = 0. \quad (14)$$

Таким образом, задача 1 полностью решена. Задача 2 решается по той же схеме. Переход к безразмерным переменным осуществляется по формулам (5) с заменой в рассматриваемом случае r_0 на $r_0 + \lg \alpha$ и r_1 на

$r_1 + \text{tg}\alpha$. Для $\psi^{(2)}, \tilde{u}^{(2)}, \tilde{v}^{(2)}, w^{(2)}, p^{(2)}$ получим выражения, аналогичные (13) и (14).

Перейдем к определению воздействия смазки на подшипник. Для проекций главного вектора и главного момента в случае задачи 1 будем иметь следующие выражения:

$$R_y^{(1)} = r_1 r_0 \frac{\mu \omega r_0^2}{\delta^2} \int_0^{2\pi} p \sin \theta d\theta dz, \\ M_z^{(1)} = \omega r_0^2 r_1^2 \mu \int_0^{2\pi} \frac{\partial^2 \psi^{(1)}}{\partial \xi^2} \frac{1}{h^2} + \frac{\partial \tilde{v}^{(1)}}{\partial \xi} \frac{1}{h} d\theta dz, \quad N_{\text{пр}}^{(1)} = \frac{z_1}{r_0}, \frac{z_2}{r_0}. \quad (15)$$

В случае задачи 2:

$$R_y^{(2)} = \frac{(r_1 + \text{tg}\alpha)(r_0 + \text{tg}\alpha)^3 \mu \omega}{\delta^2} \int_0^{2\pi} p \sin \theta d\theta dz, \\ M_z^{(2)} = \omega (r_0 + \text{tg}\alpha)^2 (r_1 + \text{tg}\alpha)^2 \mu \int_0^{2\pi} \frac{\partial^2 \psi^{(2)}}{\partial \xi^2} \frac{1}{h^2} + \frac{\partial \tilde{v}^{(2)}}{\partial \xi} \frac{1}{h} d\theta dz, \\ N_{\text{пр}}^{(2)} = \frac{z_1}{r_0 + \text{tg}\alpha}, \frac{z_2}{r_0 + \text{tg}\alpha}. \quad (16)$$

Используя метод суперпозиции для основных рабочих характеристик, получим выражения:

$$R_y = R_y^{(1)} \theta^* + R_y^{(2)} (1 - \theta^*), \\ M_z = M_z^{(1)} \theta^* + M_z^{(2)} (1 - \theta^*), \quad \theta^* \in [0, 1]. \quad (17)$$

Из найденных аналитических выражений для основных рабочих характеристик составного конического подшипника следует, что эти характеристики существенно зависят от следующих параметров: $N^{(1)} A^{*(1)}, N^{(2)} A^{*(2)}$, соответственно характеризующих безразмерную скорость на рабочей пористой поверхности составной цилиндрической втулки радиусом r_1 и радиусом $r_1 + \text{tg}\alpha$; Ω / ω – характеризующего относительное возмущение, накладываемое на угловую скорость вращения вала; $M_1^{(1)}, M_2^{(1)}$ – обусловленных силой инерции смазочной жидкости;

$B^{*(1)}$ – обусловленного нестационарностью уравнения Дарси; $\frac{z_2}{r_0} - \frac{z_1}{r_0}$ – характеризующего протяженность пористой компоненты составного конического подшипника; α – характеризующего конусность подшипника.

Обсуждение результатов. Результаты численного анализа (рис.2) показывают следующее:

1. Безразмерная несущая способность и безразмерный момент трения с увеличением значения безразмерного времени стремятся к значениям, соответствующим стационарному режиму.

2. Наиболее оптимальным (по несущей способности и моменту трения) является значение угла конусности, близкое к 6° , и относительная протяженность пористой составляющей, равная $1/6$.

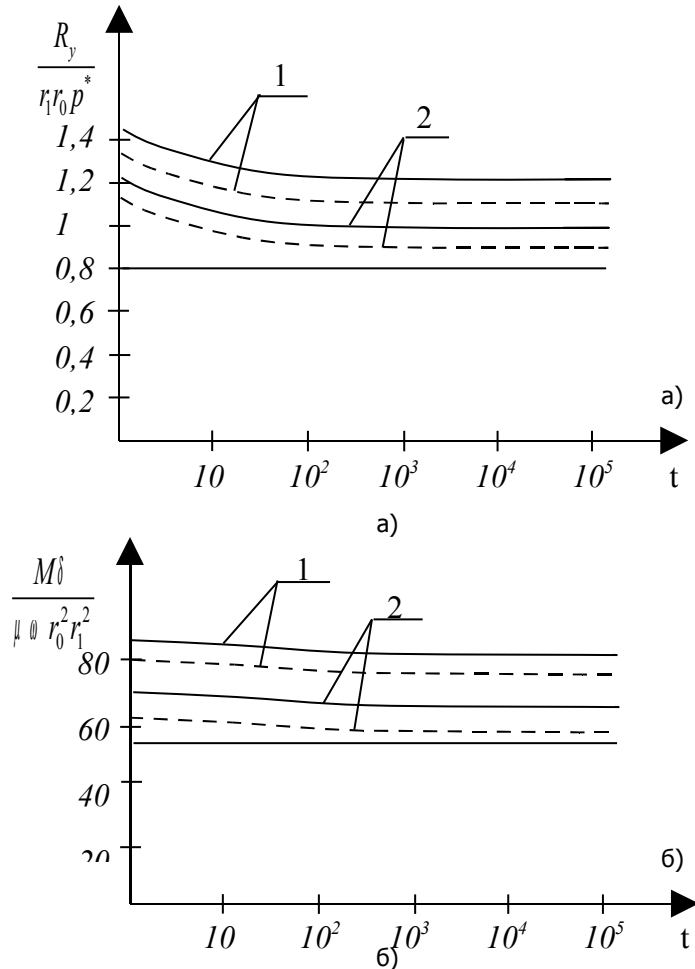


Рис. 2. Зависимость безразмерной несущей способности (а) и безразмерного момента трения (б) от безразмерного времени при различных значениях угла конусности и относительной протяженности пористой составляющей конического подшипника:

$N^{(1)} A^{*(1)} = 0,2; B^{*(1)} = 10; \Omega / \omega = 0,1 \sin \omega^* t; \omega^* = 0,2; \eta = 0,2; A_0^{*(1)} = 1; \theta^* = 1/2;$

1 - - $\alpha = 6^\circ, \frac{z_2}{r_0} - \frac{z_1}{r_0} = \frac{1}{2};$ - - - $\alpha = 6^\circ, \frac{z_2}{r_0} - \frac{z_1}{r_0} = \frac{1}{6};$

2 - - $\alpha = 3^\circ, \frac{z_2}{r_0} - \frac{z_1}{r_0} = \frac{1}{2};$ - - - $\alpha = 3^\circ, \frac{z_2}{r_0} - \frac{z_1}{r_0} = \frac{1}{6};$

————— - сплошной подшипник; - - - - - составной подшипник

Заключение. Предложена нелинейная математическая модель гидродинамического расчета составного конического подшипника. Установлены оптимальные (по несущей способности и моменту трения) значения угла конусности и протяженности пористой составляющей составного конического подшипника.

Обозначения: p – гидродинамическое давление в смазочном слое; P – гидродинамическое давление в пористом слое; e – эксцентриситет; r_0 – радиус шипа; r_1 – радиус вкладыша (в сечении $z=0$); $r_2 - r_1$ – толщина пористого слоя; r, θ, z – цилиндрические координаты; ρ – плотность смазки; $R_y^{(1)}$ – проекция главного вектора воздействия смазки на подшипник; $M_z^{(1)}$ – момент силы трения в случае задачи 1; $R_y^{(2)}, M_z^{(2)}$ – то же в случае задачи 2; v_r, v_θ, v_z – компоненты вектора скорости; k – проницаемость; μ – динамический коэффициент вязкости.

Библиографический список

1. Соломин О.В. Численное определение поля давлений в конических опорах жидкостного трения / О.В.Соломин, А.Ю.Корнеев // Вестник машиностроения. – 2005, № 8. – С. 46–50.
2. Соломин О.В. Вычислительный алгоритм определения характеристик конических опор жидкостного трения / О.В.Соломин, А.Ю.Корнеев, Л.А. Савин // Компрессорная техника и пневматика. – 2005, № 2. – С. 3.
3. Ахвердиев К.С. Математическая модель расчета пористого конического подшипника / К.С.Ахвердиев, М.А.Мукутадзе, Б.Е.Копотун // Вестник РГУПС. – № 3. – 2006. – С. 5-16.
4. Ахвердиев К.С. Гидродинамический расчет ненагруженного пористого подшипника полубесконечной длины / К.С.Ахвердиев, Б.Е.Копотун // Вестник РГУПС. – № 1. – 2006. – С.5-10.

Материал поступил в редакцию 12.09.07.

**K.S.AKHVERDIEV, A.I.ZADOROJNYI,
M.A.MUKUTADZE, S.F. KOCHETOVA**

A MATHEMATICAL MODEL OF THE HYDRODYNAMIC LUBRICATION OF COMPLEX-LOADED COMPOSITE CONIC BEARING WITH A POROUS LAYER ON ITS WORKING SURFACE

In this research a method of the hydrodynamic calculation of the composite conic bearing is worked out on basis of the non-stationary equations of Navier-Stokes for the case of the «thin layer» and the Darcy equation with the use of the method of the constructional superposition. This research presents an ap-

preciation of the influence of value of the angle of cone and an extent of a porous layer on the performance of a composite bearing.

АХВЕРДИЕВ Камил Самедович (р.1938) - Заслуженный деятель науки РФ, доктор технических наук (1984), профессор, заведующий кафедрой «Высшая математика-2» Ростовского государственного университета путей сообщения. Окончил Азербайджанский государственный университет (1962).

Научные интересы – гидродинамическая теория смазки.

Имеет 350 публикаций.

ЗАДОРЖНЫЙ Анатолий Иванович (р.1944), доктор физико-математических наук, заведующий кафедрой «Дифференциальные уравнения» Южного федерального университета. Окончил РГУ (1966).

Научные интересы: математическое моделирование и механика сплошных сред.

Имеет 187 публикаций.

МУКУТАДЗЕ Мурман Александрович (р.1987), доцент кафедры «Высшая математика-2» Ростовского государственного университета путей сообщения. Окончил РГУ (1986).

Научные интересы – гидродинамическая теория смазки.

Имеет 20 публикаций.

КОЧЕТОВА Светлана Федоровна – ассистент кафедры «Высшая математика-2» Ростовского государственного университета путей сообщения. Окончила РГУ (1987).

Научные интересы – гидродинамическая теория смазки.

Имеет 7 публикаций.